

С. С. Мочалов*, Р. А. Газзаева^a, А. З. Каджаева,
А. Н. Федотов, Е. В. Трофимова

N-АЦИЛАМИНОФЕНИЛЦИКЛОПРОПАНЫ В РЕАКЦИИ С АЗОТИСТОЙ КИСЛОТОЙ, ОБРАЗУЮЩЕЙСЯ *in situ*

Реакция *N*-ациламинофенилциклоопанов с HNO_2 протекает региоселективно, с внедрением фрагмента $\text{N}=\text{O}$ в трёхуглеродный цикл и образованием соответствующих Δ^2 -изоксазолинов. Для *ортого*-замещённых *N*-ациламинофенилциклоопанов наблюдаются побочные процессы, обусловленные внутримолекулярным участием *N*-ацильной группы в превращениях карбениевых ионов, образующихся при раскрытии циклопропанового кольца под действием нитрозирующего реагента и прямым внедрением модифицированного *ортого*-заместителя в трёхуглеродный цикл.

Ключевые слова: *N*-ациламинофенилциклоопаны, 3,1-бензоксазины, Δ^2 -изоксазолины, гетероциклизация.

Ранее было показано, что фенилциклоопаны, у которых пространственно сближены циклопропановый фрагмент и ациламинная группа, в условиях кислотно-катализируемых реакций практически количественно трансформируются в соответствующие 4*H*-3,1-бензоксазины [1–3].

С другой стороны, фенилциклоопаны, не содержащие *ортого*-заместителей, могут непосредственно трансформироваться в Δ^2 -изоксазолины (или в изоксазолы), например под действием азотистой кислоты, образующейся *in situ* [4–9].

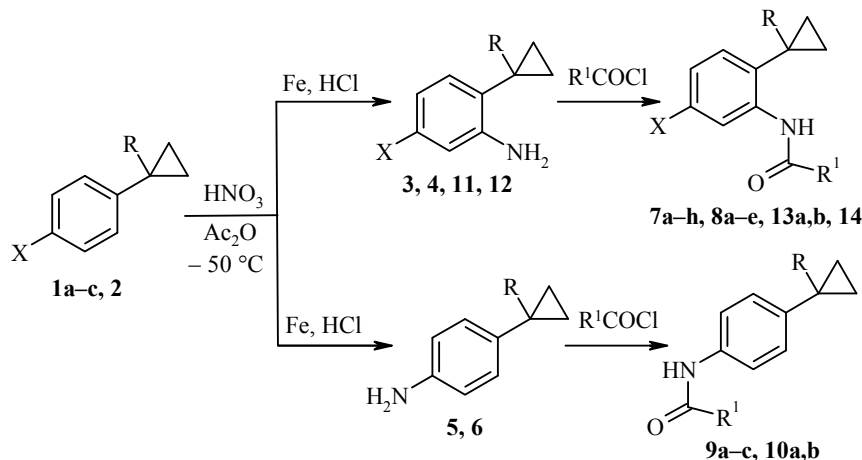
Поскольку 4*H*-3,1-бензоксазины и изоксазолины до сих пор привлекают внимание исследователей как синтетические предшественники для получения биологически активных соединений [10–15] и как самостоятельные объекты для биологических испытаний [16–18], синтез новых гетероциклов этого типа представляет практический интерес. В связи с этим мы попытались выяснить, насколько региоселективно будут протекать процессы гетероциклизации, если арилциклоопанам создать условия реагирования по двум возможным направлениям – гетероциклизации в 4*H*-3,1-бензоксазины и образования изоксазолиновых производных.

С этой целью мы синтезировали ряд 1-[2-(*N*- и 4-(*N*-ациламино)фенил]-циклоопанов и их 1-метиланалогов и изучили взаимодействие их с азотистой кислотой, образующейся *in situ*.

Необходимые для исследования субстраты были получены из соответствующих фенилциклоопанов **1a–c**, **2** последовательными реакциями нитрования, восстановления и *N*-ацилирования (схема 1, табл. 1).

Поскольку амидная группа в условиях нитрования может дезаминироваться [19], мы сначала исследовали превращения *пара*-замещённых *N*-ациламинофенилциклоопанов под действием азотистой кислоты и выяснили, как отражается наличие ациламинной группы на реакционную способность субстратов.

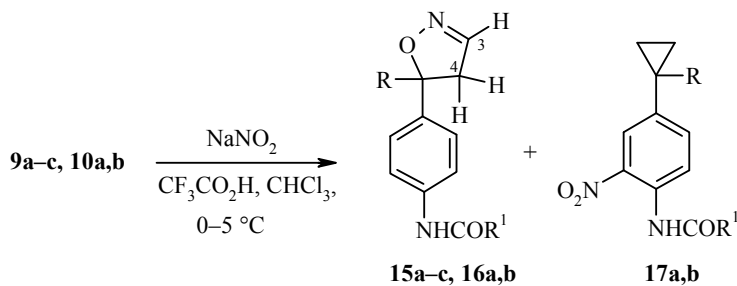
Схема 1



1a–c, 3, 5, 7a–h, 9a–c, 11–14 R = H; 2, 4, 6, 8a–e, 10a,b R = Me; 1a, 2, 3, 4, 7a–h, 8a–e X = H;
 1b, 11, 13a,b X = Br; 1c, 12, 14 X = Ac; 7a R¹ = CH₂Cl, b R¹ = Ph, c R¹ = 4-MeOC₆H₄,
 d R¹ = CH₂OPh, e R¹ = 2-BrC₆H₄, f R¹ = 3-FC₆H₄, g R¹ = 3,4,5-(MeO)₃C₆H₂, h R¹ = 3,5-(NO₂)₂C₆H₃;
 8a R¹ = CH₂Cl, b R¹ = Bn, c R¹ = 2-тиенил, d R¹ = 3,4,5-(MeO)₃C₆H₂, e R¹ = 1,4-бензодиоксан-6-ил;
 9 a R¹ = 4-MeC₆H₄, b R¹ = 2-ClC₆H₄, c R¹ = 3,5-(NO₂)₂C₆H₃; 10 a R¹ = 4-MeOC₆H₄,
 b R¹ = 3-MeOC₆H₄; 13 a R¹ = 4-MeOC₆H₄, b R¹ = 4-FC₆H₄; 14 R¹ = 4-MeOC₆H₄

Оказалось, что взаимодействие *пара*-замещённых N-ациламинофенилциклогексанов 9a–c, 10a,b с эквимолекулярным количеством азотистой кислоты, образующейся *in situ* из нитрита натрия, осуществляется с сохранением N-ациламиногруппы и в основном с внедрением группы N=O в циклогексановое кольцо с последующим образованием соответствующих Δ^2 -изоксазолинов 15a–c, 16a,b (схема 2, табл. 2).

Схема 2



15a–c, 17a,b R = H; 16a,b R = Me; 15, 17 a R¹ = 4-MeC₆H₄, b R¹ = 2-ClC₆H₄;
 15c R¹ = 3,5-(NO₂)₂C₆H₃; 16 a R¹ = 4-MeOC₆H₄, b R¹ = 3-MeOC₆H₄

Если превращения субстратов 9c, 10a осуществляются практически без побочных реакций (для полной конверсии соединения 9c требуется значительно большее время), то в случае N-ациламинопроизводных 9a,b наблюдается образование небольших количеств продуктов нитрования в ароматическое ядро – 4-метил-N-(2-нитро-4-циклогексилфенил)бензамида (17a) и N-(2-нитро-4-циклогексилфенил)-2-хлорбензамида (17b). При этом нитрогруппа вступает в циклогексилзамещённое бензольное кольцо в *ортого*-положение к N-ациламинному заместителю. Этот результат показывает, что N-ациламинный заместитель по силе ориентирующего влияния в реакциях электрофильтного замещения в ароматическом ядре

Т а б л и ц а 1
Характеристики синтезированных *o*- и *p*-(*N*-ациламино)фенилциклогепанов

Соединение*	Брутто-формула	<u>Найдено, %</u> <u>Вычислено, %</u>			Т. пл., °C**	Выход, %
		C	H	N		
7a	C ₁₁ H ₁₂ CINO	<u>63.27</u>	5.66	<u>6.47</u>	63–64	64
		63.01	5.77	6.68		
7c	C ₁₇ H ₁₇ NO ₂	<u>76.22</u>	<u>6.19</u>	<u>5.11</u>	106–107	82
		76.38	6.41	5.24		
7d	C ₁₇ H ₁₇ NO ₂	<u>76.16</u>	<u>6.22</u>	<u>5.13</u>	74–75	77
		76.38	6.41	5.24		
7f	C ₁₆ H ₁₄ FNO	<u>74.98</u>	<u>5.38</u>	<u>5.55</u>	105–106	81
		75.27	5.53	5.49		
7g	C ₁₉ H ₂₁ NO ₄	<u>69.55</u>	<u>6.33</u>	<u>4.38</u>	122–123	69
		69.70	6.47	4.28		
7h	C ₁₆ H ₁₃ N ₃ O ₅	<u>58.47</u>	<u>3.91</u>	<u>12.58</u>	181–182	71
		58.71	4.00	12.84		
8a	C ₁₂ H ₁₄ CINO	<u>64.21</u>	<u>6.07</u>	<u>6.11</u>	Вязкое масло	63
		64.43	6.31	6.27		
8b	C ₁₈ H ₁₉ NO	<u>81.29</u>	<u>6.99</u>	<u>5.36</u>	114–115	78
		81.48	7.22	5.28		
8c	C ₁₅ H ₁₅ NOS	<u>70.13</u>	<u>5.68</u>	<u>5.41</u>	121–122	86
		70.01	5.87	5.44		
8d	C ₂₀ H ₂₃ NO ₄	<u>70.22</u>	<u>6.61</u>	<u>4.22</u>	79–81	76
		70.36	6.79	4.10		
8e	C ₁₉ H ₁₉ NO ₃	<u>73.55</u>	<u>6.06</u>	<u>4.64</u>	Вязкое масло	73
		73.77	6.19	4.53		
9a	C ₁₇ H ₁₇ NO	<u>81.12</u>	<u>6.71</u>	<u>5.42</u>	151–152	76
		81.24	6.82	5.57		
9b	C ₁₆ H ₁₄ CINO	<u>71.01</u>	<u>5.03</u>	<u>4.96</u>	126–127	81
		70.72	5.19	5.15		
9c	C ₁₆ H ₁₃ N ₃ O ₅	<u>58.56</u>	<u>3.82</u>	<u>12.61</u>	222–223	73
		58.71	4.00	12.84		
10a	C ₁₈ H ₁₉ NO ₂	<u>76.77</u>	<u>6.71</u>	<u>4.82</u>	163–164	86
		76.84	6.81	4.98		
10b	C ₁₈ H ₁₉ NO ₂	<u>76.97</u>	<u>6.63</u>	<u>4.77</u>	155–156	83
		76.84	6.81	4.98		
13a	C ₁₇ H ₁₆ BrNO ₂	<u>58.82</u>	<u>4.41</u>	<u>3.93</u>	118–119	88
		58.98	4.66	4.05		
13b	C ₁₆ H ₁₃ BrFNO	<u>57.31</u>	<u>3.76</u>	<u>4.01</u>	111–112	92
		57.51	3.92	4.19		
14	C ₁₉ H ₁₉ NO ₃	<u>73.59</u>	<u>6.03</u>	<u>4.31</u>	115–116	71
		73.77	6.19	4.53		

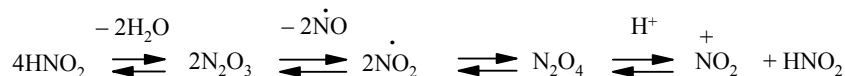
* Соединения **7b,e** описаны в работе [1].

** Растворитель для кристаллизации: соединений **7c,d,f,g, 8b,c, 9a,b, 10a,b, 13a,b, 14** – EtOH, соединений **7a, 8d** – EtOH–H₂O, 2:3; соединений **7h, 9e** – EtOH–CHCl₃, 1:1.

превосходит циклопропильную группу – один из наиболее сильных *ортого*, *пара*-ориентантов в ряду алкильных и циклоалкильных заместителей.

В принципе, можно было предположить, что нитрование субстратов **9a,b** может осуществляться под действием нитроний-катиона, способного образовываться из азотистой кислоты по схеме 3 [20].

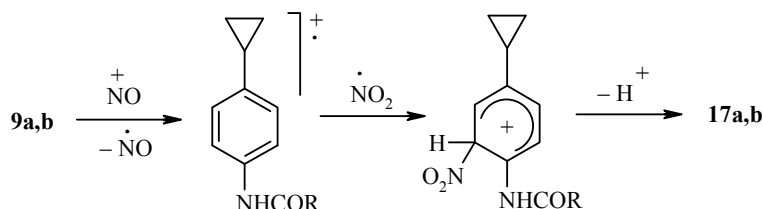
Схема 3



Однако учитывая, что в принятых условиях используется лишь эквимолекулярное количество азотистой кислоты, а превращение исходных субстратов в изоксазолины **15a,b** осуществляется с высоким выходом, представляется маловероятным, что нитросоединения **17a,b** образуются путём электрофильного нитрования.

Поскольку известно, что электронодонорные заместители понижают первый потенциал ионизации соответствующих фенилциклопропанов, тем самым способствуя протеканию реакций по механизму переноса электрона [21], можно предположить, что образование продуктов нитрования **17a,b** происходит по SET-механизму (схема 4) с участием радикалов NO_2^\cdot , образующихся (как видно из схемы 3) на более ранней стадии по сравнению с образованием NO_2^+ .

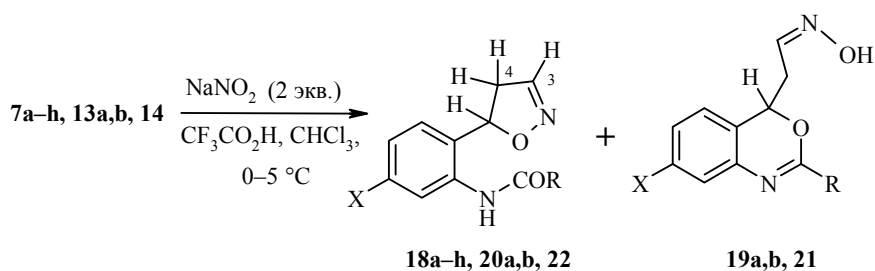
Схема 4



Взаимодействие *ортого*-замещённых *N*-ациламинофенилциклопропанов **7a-d** с азотистой кислотой показало, что в отличие от *пара*-замещённых аналогов исходные арилциклопропаны не полностью вступают в реакцию при использовании эквимолекулярных количеств реагентов, но при соотношении субстрат– HNO_2 , 1:2, реакция соединений **7a-d** осуществляется с полной конверсией и без заметных изменений состава продуктов реакции.

Анализ спектров ЯМР ^1H реакционных смесей, полученных взаимодействием *ортого*-замещённых фенилциклопропанов **7a-h, 13a,b, 14** с HNO_2 , показывает, что во всех случаях образуются практически только 5-(*N*-ациламинофенил)- Δ^2 -изоксазолины **18a-h, 20a,b** и **22** и лишь в реакции амидов **7a,b** и **13a**, наряду с Δ^2 -изоксазолинами **18a,b** и **20a**, образуются небольшие количества замещённых 3,1-бензоксазинов **19a,b** и **21** (схема 5).

Схема 5



18a-h, 19a,b X = H; **20a,b, 21** X = Br; **22** X = Ac; **18 a** R = CH_2Cl , **b** R = Ph;

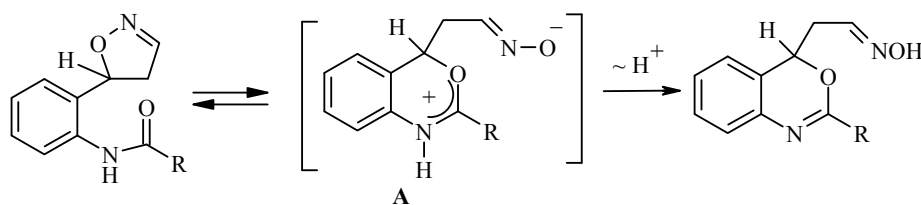
18c, 20a, 21a, 22 R = 4-MeOC₆H₄; **18 d** R = CH_2OPh , **e** R = 2-BrC₆H₄, **f** R = 3-FC₆H₄, **g** R = 3,4,5-(MeO)₃C₆H₂, **h** R = 3,5-(NO₂)₂C₆H₃; **19 a** R = CH_2Cl , **b** R = Ph; **20b** R = 4-FC₆H₄

Необходимо отметить, что даже при использовании в реакции *o*-(*N*-ациламино)фенилциклических соединений **7h**, **13a,b** и **14** двукратного количества азотистой кислоты, значительная часть (20–25%) субстратов не проагировала.

При попытках выделить целевые гетероциклы из реакционных смесей в индивидуальном состоянии оказалось, что арилзамещённые Δ^2 -изоксазолины **18a–h** нестабильны и при хроматографировании на Al_2O_3 изомеризуются в 2,4-дизамещённые 4*H*-3,1-бензоксазины. Последние также способны модифицироваться в использованных условиях хроматографирования. Дополнительным подтверждением факта рециклизации Δ^2 -изоксазолинов в 3,1-бензоксазины на Al_2O_3 послужил эксперимент с индивидуальным образцом 5-фенил- Δ^2 -изоксазолина **18b**. Было установлено, что при нанесении соединения **18b** на Al_2O_3 (колонка) с последующим элюированием действительно происходит рециклизация с образованием смеси Δ^2 -изоксазолина **18b** и 3,1-бензоксазина **19b** (по данным спектров ЯМР ^1H смеси) в процентном соотношении 82:18 соответственно.

Мы считаем, что найденный тип рециклизации 5-[*o*-(*N*-ациламино)фенил]- Δ^2 -изоксазолинов в соответствующие 4*H*-3,1-бензоксазины носит общий характер и что этому, очевидно, способствует наличие нуклеофильной *N*-ациламинной группы пространственно сближенной с активированным к внутримолекулярной нуклеофильной атаке атомом углерода бензильного типа (схема 6).

Схема 6



Высказанное предположение косвенно подтверждается тем, что 5-арил- Δ^2 -изоксазолины **15a–c**, **16a,b**, образующиеся из 4-(*N*-ациламино)фенилциклических соединений **9a–c**, **10a,b**, не модифицируются на Al_2O_3 .

Подобную рециклизацию наблюдали также авторы работ [22, 23], исследовавшие поведение эфиров нитрозамещённых карбоновых кислот в условиях нитрозирования.

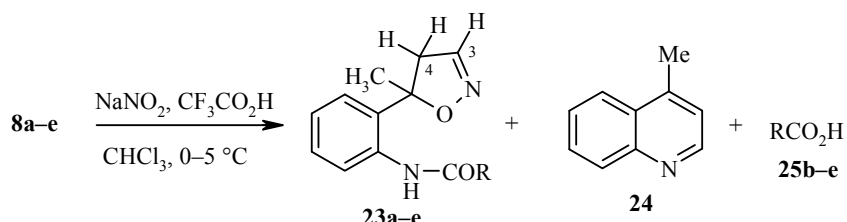
o-(*N*-Ациламино)фенилзамещённые Δ^2 -изоксазолины **18a–h**, **20a,b**, **22** могут быть выделены в индивидуальном состоянии кристаллизацией из растворов реакционных смесей, растворённых в абсолютном эфире. Выделенные таким путём Δ^2 -изоксазолины могут уже быть перекристаллизованы из подходящих растворителей.

Довольно неожиданным оказалось то, что поведение 1-метил-1-[*o*-(*N*-ациламино)фенил]циклических соединений **8a–e** в реакции с HNO_2 значительно отличается от поведения аналогичных фенилциклических соединений, не содержащих метильной группы в положении 1 циклопропана.

Взаимодействие *ортого*-замещённых соединений **8a–e** с HNO_2 осуществляется по двум направлениям: одно приводит к продуктам внедрения фрагмента $\text{N}=\text{O}$ в циклопропановое кольцо и к образованию соответствующих Δ^2 -изоксазолинов **23a–e**, как и в случае незамещённых по малому

циклу фенилциклопропанов **7a–c**, **13a,b**, другое – к 4-метилхинолину (**24**) и карбоновым кислотам **25b–e**, отвечающим ацильным фрагментам амидных групп (схема 7). Неидентифицированная в случае реакции по этому пути соединения **8a**monoхлоруксусная кислота, по-видимому, теряется в процессе обработки реакционных смесей.

Схема 7

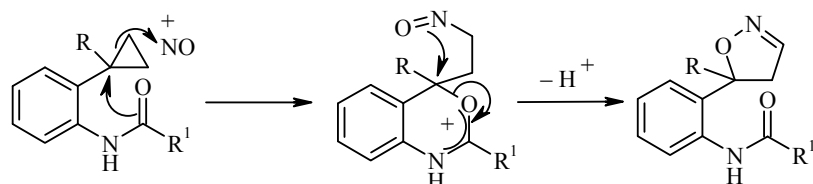


23a R = CH_2Cl ; **23, 25 b** R = Bn, **c** R = 2-тиенил, **d** R = 3,4,5-(MeO)₃C₆H₂,
e R = 1,4-бензодиоксан-6-ил

Важно отметить, что в реакции метилзамещённых фенилциклопропанов **8a–e** ни в одном случае не идентифицируются 4-метилзамещённые 4*H*-3,1-бензоксазина типа **19a,b** (схема 5), которые могли бы образоваться при инициировании раскрытия циклопропанового кольца нитрозилкатионом.

Известно [1], что соответствующие 4*H*-3,1-бензоксазиновые структуры легко образуются из анилидоциклопропанов типа **8a–e** в условиях кислотно-катализируемого раскрытия в них циклопропанового кольца. Поэтому трудно представить, что в ходе реакций *o*-замещённых циклопропановых субстратов **7a–h**, **8a–e**, **13a,b**, **14**, инициируемых нитрозирующим реагентом, циклические интермедиаты, отвечающие за синтез соответствующих 4*H*-3,1-бензоксазинов (ионы типа А, схема 6), либо совершенно не образуются (из соединений **8a–e**), либо образуются в незначительных количествах (из соединений **7a,b**, **13a**). Специально было показано, что в $\text{CF}_3\text{CO}_2\text{H}$ при $0\text{--}5^\circ\text{C}$ в отсутствие NaNO_2 все изученные нами арилциклопропаны не изменяются. Представляется весьма вероятным, что на ранней стадии реакции всех изученных *o*-замещённых арилциклопропанов формируются именно циклические ионы этого типа. Последние в силу того, что имеют гетероциклическую ониевую структуру, не могут трансформироваться в нейтральные продукты реакции (соответствующие 3,1-бензоксазины) и стабилизируются иным путём – рециклизацией в наиболее термодинамически выгодные Δ^2 -изоксазолины (схема 8).

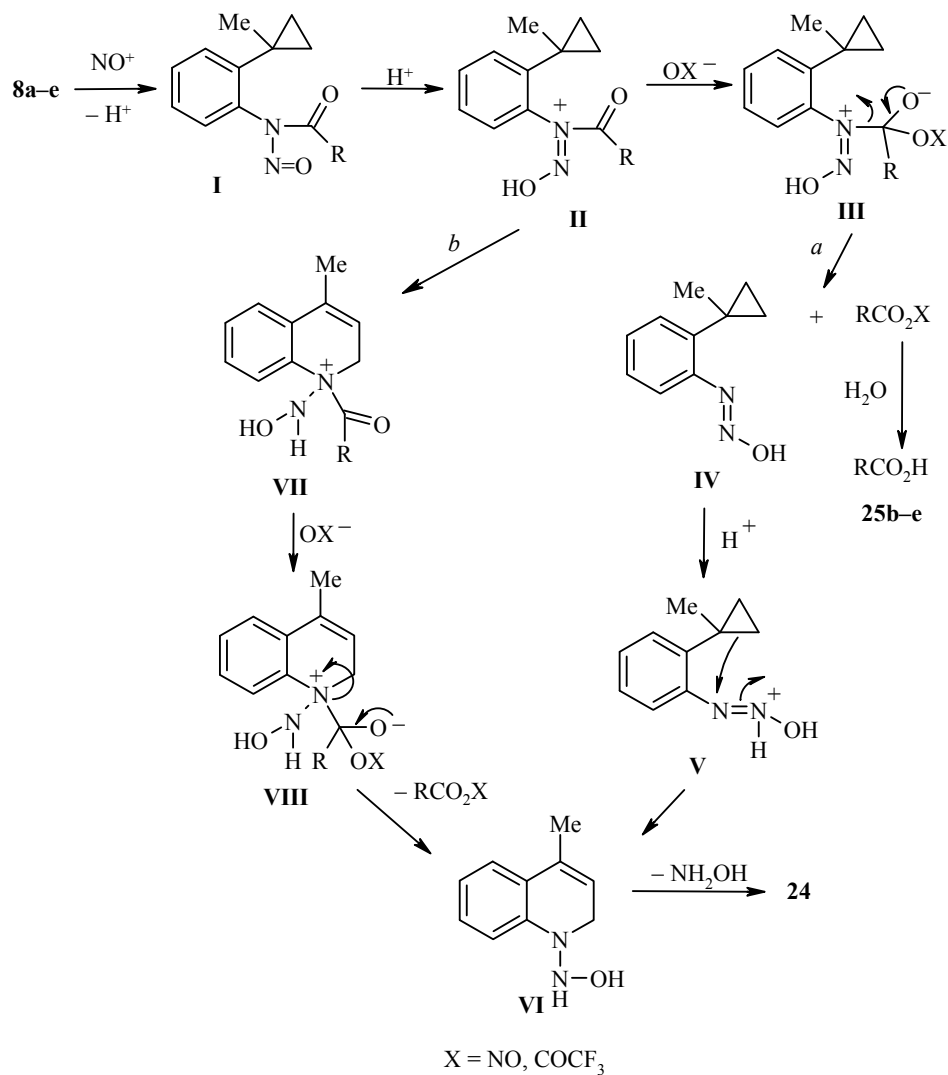
Схема 8



Важно отметить, что 5-метил-5-[*o*-(*N*-ациламино)фенил]- Δ^2 -изоксазолины (например **23a,b**), в отличие от Δ^2 -изоксазолинов **18a–h**, не рециклируются при хроматографировании на Al_2O_3 . По всей вероятности, это может быть следствием как стерических факторов, затрудняющих нуклео-

фильную атаку амидной группы на "нагруженный" атом углерода бензильного типа, так и электронных – снижение электрофильтности бензильного атома углерода за счёт влияния электронодонорной метильной группы. Что касается найденного специфического направления превращения соединений **8a–e** в 4-метилхинолин (**24**), то оно, по-видимому, представляет собой новый тип трансформации циклопропилсодержащих субстратов под действием нитрозирующего реагента.

Схема 9



По всей видимости, для 1-метил-1-фенилциклоалканов **8a–e**, параллельно с внедрением фрагмента $\text{N}=\text{O}$ в циклопропановое кольцо, осуществляется атака нитрозирующего реагента на атом азота амидной группы. Можно предположить два пути трансформации образующихся при этом N -нитрозосоединений **I** в хинолиновый гетероцикл **24** (схема 9): с разрывом амидной связи на более ранней (путь *a*) и на более поздней стадии (путь *b*), причём путь *a* можно было бы интерпретировать как превращение 1-(2-аминофенил)-1-метилциклоалана **4** в 4-метилхинолин (**24**).

Таблица 2

Характеристики продуктов реакций *N*-ациламинозамещённых фенилциклогептанов с HNO₂

Соединение	Брутто-формула	<u>Найдено, %</u> <u>Вычислено, %</u>			Т. пл., °C*	Выход, %
		C	H	N		
1	2	3	4	5	6	7
15a	C ₁₇ H ₁₆ N ₂ O ₂	<u>73.18</u> 72.83	<u>5.62</u> 5.75	<u>10.14</u> 9.99	171–172	71
15b	C ₁₆ H ₁₃ CIN ₂ O ₂	<u>64.11</u> 63.90	<u>4.22</u> 4.36	<u>9.51</u> 9.32	151–152	93
15c	C ₁₆ H ₁₂ N ₄ O ₆	<u>54.12</u> 53.94	<u>3.51</u> 3.40	<u>15.52</u> 15.73	215–216	72
16a	C ₁₈ H ₁₈ N ₂ O ₃	<u>69.71</u> 69.66	<u>5.68</u> 5.85	<u>9.24</u> 9.03	180–182	81
16b	C ₁₈ H ₁₈ N ₂ O ₃	<u>69.84</u> 69.66	<u>5.71</u> 5.85	<u>9.17</u> 9.03	115–116	94
17a	C ₁₇ H ₁₆ N ₂ O ₃	<u>69.09</u> 68.90	<u>5.60</u> 5.44	<u>9.41</u> 9.46	124–125	8
17b	C ₁₆ H ₁₃ CIN ₂ O ₃	<u>60.51</u> 60.67	<u>4.23</u> 4.14	<u>8.96</u> 8.85	—	5
18a	C ₁₁ H ₁₁ CIN ₂ O ₂	<u>55.11</u> 55.35	<u>4.38</u> 4.65	<u>11.56</u> 11.74	Вязкое масло	74
18b	C ₁₆ H ₁₄ N ₂ O ₂	<u>72.34</u> 72.17	<u>5.16</u> 5.30	<u>10.31</u> 10.52	121–122	93
18c	C ₁₇ H ₁₆ N ₂ O ₃	<u>68.76</u> 68.91	<u>5.21</u> 5.44	<u>9.61</u> 9.45	161–162	89
18d	C ₁₇ H ₁₆ N ₂ O ₃	<u>68.68</u> 68.91	<u>5.26</u> 5.44	<u>9.33</u> 9.45	99–100	85
18e	C ₁₆ H ₁₃ BrN ₂ O ₂	<u>55.41</u> 55.67	<u>3.82</u> 3.79	<u>7.88</u> 8.11	194–195	87
18f	C ₁₆ H ₁₃ FN ₂ O ₂	<u>67.44</u> 67.60	<u>4.38</u> 4.61	<u>9.76</u> 9.85	147–148	91
18g	C ₁₉ H ₂₀ N ₂ O ₅	<u>63.88</u> 64.04	<u>5.42</u> 5.66	<u>7.71</u> 7.86	129–130	89
18h	C ₁₆ H ₁₂ N ₄ O ₆	<u>54.01</u> 53.94	<u>3.32</u> 3.40	<u>15.82</u> 15.72	214–215	78
19a	C ₁₁ H ₁₁ CIN ₂ O ₂	<u>55.61</u> 55.35	<u>4.71</u> 4.65	<u>11.82</u> 11.74	—**	11
19b	C ₁₆ H ₁₄ N ₂ O ₂	<u>72.51</u> 72.17	<u>5.29</u> 5.30	<u>10.76</u> 10.52	—**	18
20a	C ₁₇ H ₁₅ BrN ₂ O ₃	<u>54.15</u> 54.42	<u>4.21</u> 4.03	<u>7.37</u> 7.46	125–126	65
20b	C ₁₆ H ₁₂ BrFN ₂ O ₂	<u>53.06</u> 52.91	<u>3.41</u> 3.33	<u>7.84</u> 7.71	167–168	89
21	C ₁₇ H ₁₅ BrN ₂ O ₃	<u>54.11</u> 54.42	<u>4.16</u> 4.03	<u>7.55</u> 7.46	—**	21
22	C ₁₉ H ₁₈ N ₂ O ₄	<u>67.16</u> 67.45	<u>5.27</u> 5.36	<u>8.03</u> 8.28	154–155	81
23a	C ₁₂ H ₁₃ CIN ₂ O ₂	<u>56.85</u> 57.04	<u>5.04</u> 5.18	<u>11.26</u> 11.09	Вязкое масло	59
23b	C ₁₈ H ₁₈ N ₂ O ₂	<u>73.21</u> 73.45	<u>6.01</u> 6.16	<u>9.24</u> 9.52	118–119	44

Окончание таблицы 2

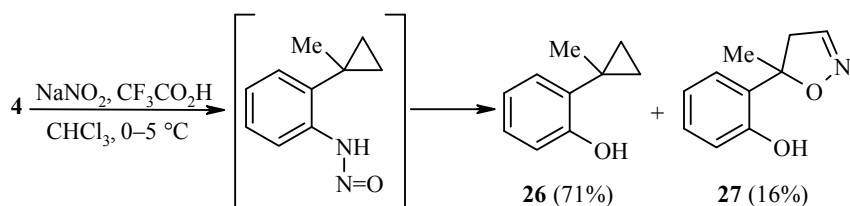
1	2	3	4	5	6	7
23c	$C_{15}H_{14}N_2O_2S$	<u>62.68</u>	<u>4.72</u>	<u>9.51</u>	–	54
		62.91	4.93	9.78		
23d	$C_{20}H_{22}N_2O_5$	<u>64.72</u>	<u>5.77</u>	<u>7.62</u>	Вязкое масло	46
		64.85	5.99	7.56		
23e	$C_{19}H_{18}N_2O_4$	<u>67.55</u>	<u>5.16</u>	<u>8.02</u>	146–147	52
		67.45	5.36	8.28		
26	$C_{10}H_{12}O$	<u>80.87</u>	<u>8.22</u>	–	Вязкое масло	71
		81.04	8.16	–		
27	$C_{10}H_{11}NO_2$	<u>67.61</u>	<u>6.11</u>	<u>7.93</u>	–	16
		67.78	6.26	7.91		

* Растворитель для кристаллизации: соединения **15b**, **16a,b**, **17a**, **18c–e,g**, **20a,b**, **23e** – EtOH; соединения **15a,e**, **18b,f,h** – EtOH–CHCl₃, 2:3; соединение **22** – Et₂O–CHCl₃, 1:1; соединение **23b** – Et₂O.

** Вещества в индивидуальном состоянии не выделялись. Приведены элементные анализы смесей соединений **18a** и **19a**, **18b** и **19b**, **20a** и **21** после выделения соответствующих Δ^2 -изоксазолинов (**18a,b**, **20a**) из реакционных смесей.

в условиях нитрозирования. Однако в реакции амина **4** с HNO₂, как нами было специально показано, 4-метилхинолин (**24**) не образуется, а основными продуктами реакции оказываются 2-(1-метилциклогексипропил)-фенол (**26**) и 2-(5-метил- Δ^2 -изоксазолин-5-ил)фенол **27** (схема 10).

Схема 10



Совершенно очевидно, что превращение амина **4** в соединение **24** может осуществляться только через образование соответствующего иона диазония, который, как свидетельствует эксперимент, не способен к внутримолекулярному превращению в 4-метилхинолин в принятых условиях. Этот факт может свидетельствовать о том, что интермедиат **IV** в ходе реакции анилидов **8a–e**, по-видимому, не образуется и процесс протекает по пути *b*.

ЭКСПЕРИМЕНТАЛЬНАЯ ЧАСТЬ

Спектры ЯМР ¹H получены на спектрометрах Bruker DRX-500 (500 МГц) (соединения **7d,h**, **9c**, **10a,b**) и Varian VXR-400 (400 МГц) (остальные соединения) в DMSO-d₆ (внутренний стандарт TMC) или в CDCl₃ (внутренний стандарт сигнал остаточных протонов CHCl₃). Масс-спектры зарегистрированы на приборе Finnigan SSQ 7000 (тип GC-MS) с использованием капиллярной колонки (30 м × 2 мм, неподвижная фаза DB-1), газ-носитель – гелий (40 мл/мин) и программированием температуры от 50 до 300 °C (10 град/мин). Энергия ионизации 70 эВ. Температуру плавления определяли на приборе Electrothermal Digital Melting Point Apparatus 1A9100. Разделение реакционных смесей и контроль чистоты продуктов реакции проводили на колонках или на пластинах Silufol и на пластинах с незакреплённым слоем Al₂O₃, II ст. акт. (по Брокману), используя элюент эфир – хлороформ – петролейный эфир (40–70 °C), 1:1:3 и 1:1:2 (по объёму).

Таблица 3

Спектры ЯМР ^1H замещенных арилниклопропанов

Соединение	Химические сдвиги, δ , м. д. (J , Гц)*				NH (1Н)
	Протоны циклопропана	Алифатические протоны	Ароматические протоны		
1	2	3	4	5	
7a	0.74 (2H, m); 1.07 (2H, m); 1.83 (1H, m)	4.26 (2H, c, CH ₂ Cl)	7.09 (1H, t, $^3J = 7.8$); 7.21 (1H, d, $^3J = 7.8$); 7.25 (1H, t, $^3J = 7.8$); 8.21 (1H, d, $^3J = 7.8$)		9.07 (ущ. с)
	0.75 (2H, m); 1.05 (2H, m); 1.87 (1H, m)	3.88 (3H, c, OCH ₃)	7.01 (2H, d, $^3J = 8.4$); 7.08 (1H, d, t, $^3J = 8.2$, $^4J = 1.2$); 7.22 (1H, d, $^3J = 8.2$); 7.29 (1H, d, t, $^3J = 8.2$, $^4J = 1.0$); 7.91 (2H, d, $^3J = 8.4$); 8.36 (1H, d, $^3J = 8.2$)		8.55 (ущ. с)
7d	0.57 (2H, m); 0.89 (2H, m); 1.88 (1H, m)	4.77 (2H, c, COCH ₂ O)	7.01 (1H, t, $^3J = 7.8$); 7.06 (3H, m); 7.11 (1H, t, $^3J = 8.0$); 7.18 (1H, t, $^3J = 7.8$); 7.35 (2H, t, $^3J = 8.0$); 7.71 (1H, d, $^3J = 7.8$)		9.48 (с)
	0.76 (2H, m); 1.07 (2H, m); 1.88 (1H, m)	—	7.11 (1H, d, t, $^3J = 8.3$, $^4J = 1.0$); 7.23 (1H, d, $^3J = 8.3$); 7.30 (2H, m); 7.49 (1H, m); 7.68 (2H, m); 8.31 (1H, d, $^3J = 8.3$)		8.59 (ущ. с)
7g	0.78 (2H, m); 1.06 (2H, m); 1.92 (1H, m)	4.95 (3H, c, OCH ₃); 4.98 (6H, c, 2OCH ₃)	7.09 (1H, d, t, $^3J = 8.2$, $^4J = 0.8$); 7.17 (2H, c); 7.24 (1H, d, d, $^3J = 8.2$, $^4J = 0.8$); 7.31 (1H, d, t, $^3J = 8.2$, $^4J = 0.8$); 8.37 (1H, d, d, $^3J = 8.2$, $^4J = 0.8$)		8.57 (ущ. с)
	0.61 (2H, m); 0.88 (2H, m); 2.01 (1H, m)	—	7.03 (1H, m); 7.24 (2H, m); 7.36 (1H, m); 9.01 (1H, c, H-4'); 9.21 (2H, c, H-2', 6')		10.71 (с)
8a	0.86 (4H, m)	1.35 (3H, c, CH ₃); 4.31 (2H, c, CH ₂ Cl)	7.11 (1H, t, $^3J = 8.2$); 7.28 (1H, t, $^3J = 8.2$); 7.35 (1H, d, $^3J = 8.2$); 8.32 (1H, d, $^3J = 8.2$)		9.26 (ущ. с)
	0.18 (2H, m); 0.43 (2H, m)	0.92 (3H, c, CH ₃); 3.87 (2H, c, CH ₂ Bz)	6.95 (1H, t, $^3J = 8.4$); 7.18 (1H, d, $^3J = 8.4$); 7.22 (1H, t, $^3J = 8.4$); 7.37–7.48 (5H, m); 8.38 (1H, d, $^3J = 8.4$)		7.79 (ущ. с)
8c	0.88 (4H, m)	1.42 (3H, c, CH ₃)	7.09 (1H, d, t, $^3J = 8.2$, $^4J = 1.1$); 7.18 (1H, d, d, $^3J = 4.8$, $^4J = 3.6$); 7.28 (1H, d, d, $^3J = 8.2$, $^4J = 1.1$); 7.34 (1H, d, t, $^3J = 8.2$, $^4J = 1.1$); 7.57 (1H, d, d, $^3J = 4.8$, $^4J = 0.8$); 7.68 (1H, d, d, $^3J = 3.6$, $^4J = 0.8$); 8.44 (1H, d, d, $^3J = 8.2$, $^4J = 1.4$)		8.67 (ущ. с)
	0.89 (2H, m); 0.96 (2H, m)	1.41 (3H, c, CH ₃); 3.93 (3H, c, OCH ₃); 3.95 (6H, c, OCH ₃)	7.08 (1H, t, $^3J = 8.1$); 7.18 (2H, c); 7.30 (1H, t, $^3J = 8.1$); 7.34 (1H, d, $^3J = 8.1$); 8.48 (1H, d, $^3J = 8.1$)		8.74 (ущ. с)

Окончание таблицы 3

	1	2	3	4	5
8e	0.92 (4H, m)	1.38 (3H, c, CH ₃); 4.33 (4H, m, OCH ₂ CH ₂ O)	6.99 (1H, d, ³ J = 8.3); 7.08 (1H, d, t, ³ J = 1.1); 7.28 (1H, d, ³ J = 8.4); 7.33 (1H, d, ³ J = 8.4); 8.68 (c)		
9a	0.63 (2H, m); 0.91 (2H, m); 1.88 (1H, m)	2.38 (3H, c, CH ₃)	7.44 (1H, d, d, ³ J = 1.1); 7.47 (1H, d, ³ J = 8.3); 8.47 (1H, d, ³ J = 8.3)		
9b	0.71 (2H, m); 0.94 (2H, m); 1.91 (1H, m)	—	7.06 (2H, d, ³ J = 8.4); 7.32 (2H, d, ³ J = 8.0); 7.64 (2H, d, ³ J = 8.4); 7.87 (2H, d, ³ J = 8.0); 10.07 (c)		
9c	0.67 (2H, m); 0.96 (2H, m); 1.92 (1H, m)	—	7.09 (2H, d, ³ J = 8.2); 7.33–7.46 (3H, m); 7.54 (2H, d, ³ J = 8.2); 7.74 (1H, d, d, ³ J = 7.8; ⁴ J = 1.4); 7.93 (c)		
10a	0.72 (2H, m); 0.82 (2H, m)	1.38 (3H, c, CH ₃); 3.84 (3H, c, OCH ₃)	7.06 (2H, d, ³ J = 8.1); 7.19 (2H, d, ³ J = 8.2); 7.65 (2H, d, ³ J = 8.1); 7.95 (2H, d, ³ J = 8.2); 10.03 (c)		
10b	0.72 (2H, m); 0.83 (2H, m)	1.39 (3H, c, CH ₃); 3.83 (3H, c, OCH ₃)	7.16 (1H, d, d, ³ J = 8.1, ⁴ J = 2.0); 7.20 (2H, d, ³ J = 8.2); 7.44 (1H, t, ³ J = 8.1); 7.48 (1H, m); 7.53 (1H, d, ³ J = 8.1); 7.67 (2H, d, ³ J = 8.2)		10.14 (c)
13a	0.72 (2H, m); 1.06 (2H, m); 1.78 (1H, m)	3.91 (3H, c, OCH ₃)	7.01 (2H, d, ³ J = 8.6); 7.08 (1H, d, ³ J = 8.2); 7.19 (1H, d, ³ J = 8.2); 7.88 (2H, d, ³ J = 8.6); 8.64 (1H, c)		8.53 (ущ. с)
13b	0.61 (2H, m); 0.92 (2H, m); 2.02 (1H, m)	—	6.96 (1H, d, ³ J = 8.4); 7.37 (3H, m); 7.65 (1H, d, ⁴ J = 1.5); 8.07 (2H, m)		10.04 (c)
14	0.79 (2H, m); 1.12 (2H, m); 1.92 (1H, m)	2.64 (3H, c, COCH ₃); 3.91 (3H, c, OCH ₃)	7.02 (2H, d, ³ J = 8.6); 7.28 (1H, d, ³ J = 8.2); 7.69 (1H, d, ³ J = 8.2); 7.91 (2H, d, ³ J = 8.6); 8.95 (1H, c)		8.53 (ущ. с)
17a	0.75 (2H, m); 1.05 (2H, m); 1.95 (1H, m)	3.48 (3H, c, CH ₃)	7.33 (2H, d, ³ J = 7.8); 7.41 (1H, d, d, ³ J = 8.1, ⁴ J = 1.5); 7.88 (2H, d, ³ J = 7.8); 7.97 (1H, ⁴ d, ³ J = 1.5); 8.86 (1H, d, ³ J = 8.1)		11.17 (ущ. с)
17b**	0.49 (2H, m); 1.11 (2H, m); 1.97 (1H, m)	—	7.38–7.51 (4H, m); 7.72 (1H, d, d, ³ J = 8.2, ⁴ J = 1.8); 7.94 (1H, d, ⁴ J = 1.8); 8.81 (1H, d, ³ J = 8.2)		10.74 (ущ. с)
26	0.82 (2H, m); 0.83 (2H, m)	1.36 (3H, c, CH ₃)	6.88 (1H, d, t, ³ J = 8.2, ⁴ J = 1.4); 6.90 (1H, d, d, ³ J = 8.2, ⁴ J = 1.4); 7.17 (1H, d, t, ³ J = 8.2, ⁴ J = 1.5); 7.25 (1H, d, d, ³ J = 8.2, ⁴ J = 1.5)	5.68 (1H, ущ. с, OH)	

* Спектры ЯМР ¹H соединений **7a,c,f,g, 8a–e, 9b, 13a, 14, 17a,b, 26** записаны в CDCl₃, соединений **7d,h, 9a,c, 10a,b** – в *ДМСО-d*₆.

** Mass-спектр соединения **17b**, *m/z* (*I*₀%, %): 316 [M]⁺ (9).

Таблица 4

Спектры ЯМР ^1H полученных гетероциклических соединений

Соединение	Химические сдвиги, δ , м. д. (J , Гц)*					
	Протоны изоксазолина или 3,1-бензоксазина		Алифатические протоны		Ароматические протоны	
	2	3	4	5		
15a	2.97 (1Н, д, $J = 18.4$, $^2J = 8.8$) и 3.45 (1Н, д, $J = 11.5$, 4-CH ₂); 5.45 (1Н, т, $^3J = 11.5$, H-5); 7.15 (1Н, с, H-3)	2.45 (3Н, с, CH ₃)	7.29 (2Н, д, $^3J = 7.8$); 7.34 (2Н, д, $^3J = 8.0$); 7.78 (2Н, д, $^3J = 7.8$); 7.89 (2Н, д, $^3J = 8.0$)	10.21 (с)		
15b	2.96 (1Н, д, $J = 18.2$, $^2J = 8.4$) и 3.46 (1Н, д, $J = 10.8$, 4-CH ₂); 5.51 (1Н, т, $^3J = 10.8$, H-5); 7.21 (1Н, уш. с, H-3)	—	7.31 (2Н, д, $^3J = 8.1$); 7.32–7.45 (3Н, м); 7.65 (2Н, д, $^3J = 8.1$); 7.71 (1Н, д, $^3J = 7.8$)	8.12 (уш. с)		
15c	2.93 (1Н, д, д, $^2J = 18.5$, $^3J = 8.8$, $^3J = 1.1$) и 3.41 (1Н, д, $J = 11.5$, $^3J = 1.0$, 4-CH ₂); 5.42 (1Н, д, $J = 11.5$, $^3J = 8.8$, H-5); 7.48 (1Н, с, H-3)	—	7.38 (2Н, д, $^3J = 7.8$); 7.81 (2Н, д, $^3J = 7.8$); 8.98 (1Н, с, H-4); 9.18 (2Н, с, H-2'; 6')	10.89 (уш. с)		
16a	3.06 (1Н, д, д, $^2J = 17.6$, $^3J = 1.4$) и 3.15 (1Н, д, $J = 1.4$, 4-CH ₂); 7.35 (1Н, с, H-3)	1.56 (3Н, с, CH ₃); 3.85 (3Н, с, OCH ₃)	7.05 (2Н, д, $^3J = 8.2$); 7.35 (2Н, д, $^3J = 8.1$); 7.75 (2Н, д, $^3J = 8.1$); 7.92 (2Н, д, $^3J = 8.2$)	10.12 (уш. с)		
16b	3.09 (1Н, д, $^2J = 17.2$) и 3.16 (1Н, д, $^2J = 17.2$, 4-CH ₂); сигнал протона H-3 входит в состав мультиплета при 7.30–7.44 (5Н)	1.69 (3Н, с, CH ₃); 3.84 (3Н, с, OCH ₃)	7.05 (1Н, д, $^3J = 8.0$, $^4J = 0.8$); 7.11 (1Н, д, $^3J = 0.8$); 7.30–7.44 (4Н + 1Н изоксазолина, м); 7.62 (2Н, д, $^3J = 8.1$)	8.16 (уш. с)		
18a**	3.08 (1Н, д, д, $^2J = 17.6$, $^3J = 11.0$, $^3J = 1.3$) и 3.34 (1Н, д, $J = 1.0$, 4-CH ₂); 5.51 (1Н, т, $J = 11.0$, H-5); 7.35 (1Н, с, H-3)	4.17 (2Н, с, COCH ₂ Cl)	7.20 (1Н, т, $^3J = 8.1$); 7.29 (1Н, д, $^3J = 8.1$); 7.37 (1Н, т, $^3J = 8.1$); 7.85 (1Н, д, $^3J = 8.1$)	8.89 (с)		
18b***	3.12 (1Н, д, д, $^2J = 17.8$, $^3J = 11.2$, $^3J = 1.6$) и 3.35 (1Н, д, д, $^2J = 17.8$, $^3J = 11.2$, $^3J = 2.2$, 4-CH ₂); 5.55 (1Н, т, $J = 11.2$, H-5); 7.29 (1Н, уш. с, H-3)	—	7.21 (1Н, т, $^3J = 8.1$); 7.28 (1Н, д, $^3J = 8.1$); 7.43 (1Н, т, $^3J = 8.1$); 7.51 (2Н, т, $^3J = 7.9$); 7.57 (1Н, т, $^3J = 7.9$); 7.95 (2Н, д, $^3J = 7.9$); 8.07 (1Н, д, $^3J = 8.1$)	8.82 (с)		
18c	3.14 (1Н, д, д, $^2J = 17.8$, $^3J = 11.2$, $^3J = 1.4$) и 3.33 (1Н, д, д, $^2J = 17.8$, $^3J = 11.2$, $^3J = 1.8$, 4-CH ₂); 5.56 (1Н, т, $J = 11.2$, H-5); 7.29 (1Н, с, H-3)	3.88 (3Н, с, OCH ₃)	6.98 (2Н, д, $^3J = 8.4$); 7.18 (1Н, т, $^3J = 8.0$); 7.27 (1Н, д, $^3J = 8.0$); 7.41 (1Н, т, $^3J = 8.0$); 7.91 (2Н, д, $^3J = 8.4$); 8.05 (1Н, д, $^3J = 8.0$)	8.72 (уш. с)		
18d	3.07 (1Н, д, д, $^2J = 17.8$, $^3J = 11.5$, $^3J = 1.5$) и 3.25 (1Н, д, д, $^2J = 17.8$, $^3J = 11.0$, 4-CH ₂); 5.46 (1Н, т, $J = 11.5$, H-5); сигнал H-3 входит в состав мультиплета при 7.19–7.43 (6Н)	4.61 (1Н, д, $^2J = 14.6$) и 4.62 (1Н, д, $^2J = 14.6$, COCH ₂ O) при 7.07 (3Н, м); 7.19–7.43 (5Н + 1Н изоксазолина, м); 8.05 (1Н, д, $^3J = 7.9$)	7.07 (3Н, м); 9.03 (уш. с)	9.03 (уш. с)		

Окончание таблицы 4

	1	2	3	4	5
18e	3.23 (1H, д, д, $J=17.9$, $J=10.6$, $J=1.7$) и 3.41 (1H, д, д, д, $J=17.9$, $J=10.6$, $J=1.8$, 4-CH ₂); 5.62 (1H, т, $J=10.6$, H-5); 7.28 (1H, уш, с, H-3)	—	7.26 (1H, д, т, $J=7.8$, $J=1.4$); 7.34 (2H, д, т, $J=7.8$, $J=1.4$); 7.42 (1H, д, т, $J=8.0$, $J=0.8$); 7.44 (1H, д, т, $J=8.0$, $J=0.8$); 7.58 (1H, д, д, $J=7.8$, $J=1.4$); 7.66 (1H, д, д, $J=8.0$, $J=0.8$); 7.96 (1H, д, д, $J=8.0$, $J=0.8$); 7.21 (1H, т, $J=7.8$); 7.28 (2H, м); 7.43 (1H, д, т, $J=8.4$, $J=1.2$); 7.48 (1H, м); 7.68 (2H, м); 8.07 (1H, д, $J=7.8$)	8.13 (уш, с)	
18f	3.16 (1H, д, д, д, $J=17.6$, $J=11.1$, $J=1.4$) и 3.34 (1H, д, д, д, $J=17.6$, $J=11.1$, $J=1.8$, 4-CH ₂); 5.57 (1H, т, $J=11.1$, H-5); 7.32 (1H, с, H-3)	—	7.18 (1H, т, $J=8.1$); 7.20 (2H, с, H-2', 6'); 7.26 (1H, д, $J=8.1$); 7.44 (1H, т, $J=8.1$); 8.19 (1H, д, $J=8.1$)	8.92 (с)	
18g	3.18 (1H, д, д, д, $J=17.6$, $J=11.2$, $J=1.2$) и 3.35 (1H, д, д, д, $J=17.6$, $J=11.2$, $J=1.7$, 4-CH ₂); 5.57 (1H, т, $J=11.2$, H-5); 7.36 (1H, уш, с, H-3)	3.92 (3H, с, OCH ₃); 3.96 (6H, с, 2OCH ₃)	7.39 (4H, м); 9.03 (1H, с, H-4'); 9.17 (2H, с, H-2', 6')	10.77 (с)	
18h	2.85 (1H, д, д, $J=2$, $J=17.8$, $J=7.7$, $J=1.1$) и 3.45 (1H, д, д, д, $J=17.8$, $J=11.1$, $J=1.4$, 4-CH ₂); 5.65 (1H, д, д, $J=11.1$, $J=7.7$, H-5); 7.43 (1H, уш, с, H-3) 5.05 (1H, т, $J=7.1$, H-4 бензоксазина)	2.75 (1H, д, д, $J=17.1$, $J=4.2$) и 2.91 (1H, д, д, $J=17.1$, $J=7.1$, CH ₂ CH=NOH); 4.15 (2H, с, CH ₂ Cl)	7.11 (1H, т, $J=8.2$); 7.29 (1H, д, $J=8.2$); 7.47 2.72 (1H, д, д, $J=2$, $J=16.6$, $J=5.4$) и 2.91 (1H, д, д, $J=2$, $J=16.6$, $J=8.2$, CH ₂ CH=NOH); 7.12 (1H, с, CH ₂ CH=NOH)	7.35 (2H, м); 9.92 (1H, уш, с, OH)	
19a**	5.07 (1H, д, д, $J=8.2$, $J=5.4$, H-4 бензоксазина)	3.85 (3H, с, OCH ₃)	7.01 (2H, д, $J=8.4$); 7.21 (1H, д, $J=8.2$); 7.35 (1H + 1H изоксазолина, м); 7.95(2H, д, $J=8.4$); 8.32 (1H, с)	8.76 (с)	
19b***	5.07 (1H, д, д, $J=8.2$, $J=5.4$, H-4 бензоксазина)	—	7.11 (1H, д, $J=8.6$); 7.18 (2H, т, $J=9.9$); 7.32 (1H, д, д, $J=8.6$, $J=1.7$); 7.93 (2H, м); 8.34(1H, д, $J=1.7$)	8.91 (с)	
20a	3.14 (1H, д, д, д, $J=17.6$, $J=11.2$, $J=1.1$) и 3.34 (1H, д, д, д, $J=17.6$, $J=11.2$, $J=1.5$, 4-CH ₂); 5.51 (1H, т, $J=11.2$, H-5); сигнал протона H-3	входит в состав мультиплета при 7.35	6.91 (2H, д, $J=8.2$); 6.97 (1H, д, $J=8.0$); 7.17 3.12 (1H, д, д, д, $J=17.8$, $J=10.8$, $J=1.0$) и 3.36 (1H, д, д, д, $J=17.8$, $J=10.8$, $J=1.6$, 4-CH ₂); 5.52 (1H, т, $J=10.8$, H-5); 7.34 (1H, с, H-3)	9.89 (1H, с, CH ₂ CH=N); 3.85 (3H, с, OCH ₃); c)	
20b	5.17 (1H, т, $J=4.8$, H-4 бензоксазина)	—	7.11 (1H, д, $J=8.6$); 7.18 (2H, т, $J=9.9$); 7.32 (1H, д, д, $J=8.6$, $J=1.7$); 7.93 (2H, м); 8.34(1H, д, $J=1.7$)	8.91 (с)	
21a	2.83 (1H, д, д, $J=16.2$, $J=8.4$) и 3.01 (1H, д, д, $J=16.2$, $J=4.8$,	6.91 (2H, д, $J=8.0$); 7.77 (2H, д, $J=8.2$); 8.37 (1H, OH)			

22	3.16 (1H, d, d, d, $J=17.9$, $J=11.2$, $J=1.4$) и 3.40 (1H, d, d, d, $J=17.9$, $J=11.2$, $J=1.8$, 4-CH ₂); 5.60 (1H, t, $J=11.2$, H-5); 7.32 (1H, c, H-3) 3.11 (1H, d, $J=16.9$) и 3.43 (1H, d, $J=16.9$, 4-CH ₂); сигнал протона H-3 входит в состав мультиплета при 7.25–7.40 (3H) 2.91 (1H, d, $J=16.9$) и 3.25 (1H, d, $J=16.9$, 4-CH ₂); 7.12 (1H, c, H-3)	7.14 (1H, c, CH ₂ CH=N) 2.63 (3H, c, COCH ₃); 3.87 (3H, c, CH ₃)	6.98 (2H, d, $J=8.4$); 7.37 (1H, d, $J=8.2$); 7.76 (1H, d, $J=8.2$); 7.91 (2H, d, $J=8.4$); 8.59 (1H, c) 7.19 (1H, t, $J=8.1$); 7.25–7.40 (2H + 1H изоксазолина, M); 8.11 (1H, d, $J=8.1$)	8.86 (c)
23a	3.11 (1H, d, $J=18.4$, $J=2.2$) и 3.46 (1H, d, d, $J=18.4$, $J=1.1$, 4-CH ₂); сигнал протона H-3 входит в состав мультиплета при 7.17 (2H)	1.46 (3H, c, CH ₃); 3.72 (1H, d, $J=15.7$) и 3.76 (1H, d, $J=15.7$, CH ₂ Ph)	7.11 (1H, t, $J=8.0$); 7.19 (1H, d, $J=8.0$); 7.33 (2H, m); 7.39 (4H, m); 8.06 (1H, d, $J=8.0$)	8.57 (ущ.с)
23b**	3.11 (1H, d, d, $J=18.4$, $J=2.2$) и 3.46 (1H, d, d, $J=18.4$, $J=1.1$, 4-CH ₂); сигнал протона H-3 входит в состав мультиплета при 7.17 (2H)	1.71 (3H, c, CH ₃)	7.17 (1H + 1H изоксазолина, M); 7.26 (1H, d, d, $J=8.3$, $J=1.2$); 7.33 (1H, t, $J=2.1$); 7.39 (1H, d, t, $J=8.3$, $J=1.2$); 7.56 (1H, d, d, $J=5.1$, $J=1.1$); 7.72 (1H, d, $J=4.0$, $J=1.1$); 8.28 (1H, d, d, $J=8.3$, $J=1.2$); 7.13 (1H, t, $J=8.2$); 7.22 (1H, d, $J=8.2$); 7.29 (2H, c, H-2'; 6'); 7.37 (1H, t, $J=8.2$); 8.35 (1H, $J=8.2$)	9.55 (ущ.с)
23c	3.09 (1H, d, $J=17.1$) и 3.42 (1H, d, $J=17.1$, 4-CH ₂); 7.28 (1H, c, H-3)	1.65 (3H, c, CH ₃); 3.91 (3H, c, OCH ₃); 3.95 (6H, c, 2OCH ₃)	1.68 (3H, c, CH ₃); 4.31 (4H, m, OCH ₂ CH ₂ O)	6.97 (1H, d, $J=8.2$); 7.15 (1H, t, $J=7.9$); 7.25 (1H, d, $J=7.9$); 7.39 (1H, t, $J=7.9$); 7.50 (1H, d, d, $J=8.2$, $J=1.4$); 7.58 (1H, d, $J=1.4$); 8.26 (1H, d, $J=7.9$)
23d	3.08 (1H, d, $J=17.2$) и 3.45 (1H, d, $J=17.2$, 4-CH ₂); 7.29 (1H, c, H-3)	—	7.68 (1H, d, $J=5.2$, H-3); 7.85 (1H, t, $J=8.4$) и 7.98 (1H, t, $J=8.4$, H-6, 7); 8.21 (1H, d, $J=8.4$) и 8.51 (1H, d, $J=8.4$, H-5, 8); 9.11 (1H, d, $J=5.2$, H-2)	—
23e	2.96 (3H, c, CH ₃)	6.89 (1H, d, $J=8.1$); 6.91 (1H, d, t, $J=8.1$, $J=1.1$); 7.14 (1H, d, d, $J=8.1$, $J=1.5$); 7.21 (1H, d, t, $J=8.1$, $J=1.5$)	7.54 (1H, уш. с, OH)	9.51 (ущ.с)
24**	—	—	—	—
27	3.18 (1H, d, $J=16.9$) и 3.43 (1H, d, $J=16.9$, 4-CH ₂); 7.31 (1H, уш. с, CH ₃)	1.72 (3H, c, CH ₃)	—	—

* Спектры ЯМР ¹H соединений **15a**, **15c**, **18h** зарегистрированы в ДМСО-d₆, всех других соединений – в CDCl₃.

** Mass-спектр, *m/z* (*I_{опт.}*, %): соединение **18a** 238 [M]⁺ (12), 196 (44), 176 (56), 162 (39), 146 (68), 134 (100), 118 (84), 106 (18), 91 (28), 77 (97), 65 (42), 51 (74);
соединение **27a** 238 [M]⁺ (35), 194 (23), 185 (69), 162 (14), 144 (100), 122 (62), 116 (22), 77 (17); **23b** 294 [M⁺] (11), 210 (15), 159 (10), 144 (45), 130 (11), 115 (10), 91 (100), 65 (22).

*** Mass-спектр, *m/z* (*I_{опт.}*, %): соединение **18b** 266 [M]⁺ (12), соединение **19b** 266 [M]⁺ (11), соединение **24** 143 [M]⁺ (100).

2-Циклопропиланилин (3) получают восстановлением 2-нитрофенилцикло-пропана (т. кип. 111–112 °C (8 мм рт. ст.); n_{D}^{20} 1.5614 (т. кип. 105 °C (5 мм рт. ст.); n_{D}^{20} 1.5606 [24])) по методике [25]. Выход 81%, бесцветная жидкость, т. кип. 105 °C (10 мм рт. ст.); n_{D}^{20} 1.5812 (т. кип. 103–104 °C (9 мм рт. ст.) [26]).

2-(1-Метилциклопропил)анилин (4) синтезируют из 1-(2-нитрофенил)-1-метилциклопропана (т. кип. 127–128 °C (16 мм рт. ст.); n_{D}^{20} 1.5369 (т. кип. 111–112 °C (7 мм рт. ст.); n_{D}^{20} 1.5372 [27])) аналогично [25]. Выход 74%, бесцветная жидкость, т. кип. 115–117 °C (20 мм рт. ст.); n_{D}^{20} 1.5812 (т. кип. 106–108 °C (12 мм рт. ст.) [26]).

4-Циклопропиланилин (5) получают восстановлением 4-нитрофенилцикло-пропана (т. кип. 132–133 °C (8 мм рт. ст.), т. пл. 29–30 °C (т. кип. 122 °C (5 мм рт. ст.), т. пл. 31 °C, [24])) по методике [25]. Выход 76%, бесцветная жидкость, т. кип. 112 °C (10 мм рт. ст.) (т. кип. 122 °C (5 мм рт. ст.) [24]). Спектр ЯМР ^1H (CDCl_3), δ, м. д. (J , Гц): 0.63 (2H, м), 0.92 (2H, м) и 1.87 (1H, м, *cyclo*-Pr); 3.57 (2H, уш. с, NH_2); 6.55 (2H, д, $^3J = 8.2$, H Ar); 6.95 (2H, д, $^3J = 8.2$, H Ar).

4-(1-Метилциклопропил)анилин (6) получают из 1-(4-нитрофенил)-1-метилциклопропана (т. пл. 56–58 °C (EtOH) (т. пл. 57–58 °C [27])) по методике [25]. Выход 77%, вязкое масло. Спектр ЯМР ^1H (CDCl_3), δ, м. д. (J , Гц): 0.68 (2H, м) и 0.81 (2H, м, *cyclo*-Pr); 1.39 (3H, с, CH_3); 3.58 (2H, уш. с, NH_2); 6.65 (2H, д, $^3J = 8.2$, H Ar); 7.11 (2H, д, $^3J = 8.2$, H Ar). Найдено, %: C 81.47; H 8.81; N 9.61. $\text{C}_{10}\text{H}_{13}\text{N}$. Вычислено, %: C 81.59; H 8.90; N 9.52.

5-Бром-2-циклопропиланилин (11) получают восстановлением 2-нитро-4-бромфенилцикло-пропана (т. пл. 42 °C, из спирта (т. пл. 42 °C [28])) по методике [25]. Выход 61%, бесцветная жидкость; т. кип. 145–146 °C (8 мм рт. ст.) (т. кип. 152–154 °C (11 мм рт. ст.) [29]); n_{D}^{20} 1.6122.

1-(3-Амино-4-циклопропилфенил)этанон (12) синтезируют из 1-(3-нитро-4-циклопропилфенил)этанона (т. пл. 67 °C, из спирта (т. пл. 66–67 °C [30])) аналогично [25]. Выход 64%, вязкое масло. Спектр ЯМР ^1H (CDCl_3), δ, м. д. (J , Гц): 0.64 (2H, м), 0.95 (2H, м) и 1.77 (1H, м, *cyclo*-Pr); 2.51 (3H, с, COCH_3); 4.12 (2H, уш. с, NH_2); 7.08 (1H, д, $^3J = 8.0$, H Ar); 7.31 (2H, м, H Ar). Найдено, %: C 75.21; H 7.32; N 8.11. $\text{C}_{11}\text{H}_{13}\text{NO}$. Вычислено, %: C 75.40; H 7.48; N 8.00.

N-Ациламинофенил- и 1-(N-ациламинофенил)-1-метилциклопропаны 7a–h, 8a–e, 9a–c, 10a,b, 13a,b, 14 синтезируют ацилированием циклопропиланилинов 3–6, 11, 12 хлорангидридами соответствующих кислот, как описано в работе [1]; выходы и физико-химические характеристики приведены в табл. 1 и 3.

Взаимодействие N-ациламинофенилцикло-пропанов 7a–h, 8a–e, 9a–c, 10a,b, 13a,b, 14 и 1-(2-аминофенил)-1-метилцикло-пропана (4) с азотистой кислотой, образующейся *in situ* (общая методика). К раствору 50 ммоль соответствующего N-ациламинофенилцикло-пропана в 6.5 мл трифтормукусной кислоты и 10 мл CHCl_3 при 0–5 °C порциями добавляют 50 ммоль (или 100 ммоль) нитрита натрия, перемешивают 1 ч при той же температуре и, повысив температуру до 20 °C, выливают в 60 мл воды. Органический слой отделяют, водный – экстрагируют хлороформом (2 × 10 мл); хлороформные растворы объединяют, промывают водой до нейтральной реакции и сушат MgSO_4 . Упарив растворитель, реакционную смесь разделяют на пластинах Silufol или на пластинах с незакрепленным слоем Al_2O_3 , или, добавив к реакционной смеси 20–30 мл абсолютного эфира, отделяют выпавшие кристаллические продукты реакции. Выходы полученных 5-арилизоксазолинов и других продуктов реакции, их физико-химические характеристики приведены в табл. 2 и 4.

СПИСОК ЛИТЕРАТУРЫ

1. С. С. Мочалов, Р. А. Газзаева, А. Н. Федотов, Ю. С. Шабаров, Н. С. Зефиров, *XTC*, 922 (2003). [*Chem. Heterocycl. Comp.*, **39**, 794 (2003)].
2. А. Н. Федотов, Е. В. Трофимова, В. А. Романов, С. С. Мочалов, Ю. С. Шабаров, Н. С. Зефиров, *XTC*, 115 (2008). [*Chem. Heterocycl. Comp.*, **44**, 96 (2008)].

3. Е. В. Трофимова, Б. П. Арчегов, А. Н. Федотов, Р. А. Газзаева, С. С. Мочалов, Н. С. Зефиров, *XTC*, 1368 (2009). [*Chem. Heterocycl. Comp.*, **45**, 1095 (2009)].
4. Ю. С. Шабаров, Л. Г. Сагинова, Р. А. Газзаева, *XTC*, 738 (1983). [*Chem. Heterocycl. Comp.*, **19**, 589 (1983)].
5. Р. А. Газзаева, Ю. С. Шабаров, Л. Г. Сагинова, *XTC*, 309 (1984). [*Chem. Heterocycl. Comp.*, **20**, 246 (1984)].
6. Л. Г. Сагинова, И. Л. Кухарева, А. Т. Лебедев, Ю. С. Шабаров, *ЖОрХ*, **27**, 1852 (1991).
7. О. Б. Бондаренко, А. Ю. Гаврилова, Л. Г. Сагинова, Н. В. Зык, Н. С. Зефиров, *Изв. АН, Сер. хим.*, **3**, 741 (2003).
8. О. Б. Бондаренко, А. Ю. Гаврилова, М. А. Казанцева, В. Н. Тиханушкина, Э. Е. Нифантьев, Л. Г. Сагинова, Н. В. Зык, *ЖОрХ*, **42**, 265 (2006).
9. А. З. Каджаева, Е. В. Трофимова, А. Н. Федотов, К. А. Потехин, Р. А. Газзаева, С. С. Мочалов, Н. С. Зефиров, *XTC*, 753 (2009). [*Chem. Heterocycl. Comp.*, **45**, 595 (2009)].
10. A. P. Kozikowski, P. D. Stein, *J. Am. Chem. Soc.*, **104**, 4023 (1982).
11. D. P. Curran, *J. Am. Chem. Soc.*, **105**, 5825 (1983).
12. S. H. Andersen, K. K. Sharma, K. B. G. Torssell, *Tetrahedron*, **39**, 2241 (1983).
13. A. P. Kozikowski, *Acc. Chem. Res.*, **17**, 410 (1984).
14. S. Y. Lee, B. S. Lee, C.-W. Lee, D. Y. Oh, *J. Org. Chem.*, **65**, 256 (2000).
15. A. Yashiro, Y. Nishida, K. Kobayashi, M. Ohno, *Synlett*, 361 (2000).
16. P. Conti, C. Dallanoce, M. De Amici, C. De Micheli, K. N. Klotz, *Bioorg. Med. Chem.*, **6**, 401 (1998).
17. C. Mohan, G. S. Saharia, H. R. Sharma, *J. Indian Chem. Soc.*, **53**, 181 (1976).
18. T. Ogawa, M. Inazu, K. Goton, S. Hayashi, *Agents Actions*, **31**, 321 (1990).
19. О. А. Реутов, А. Л. Курц, К. П. Бутин, *Органическая химия*, БИНОМ, Москва, 2004, т. 3, с. 245.
20. S. Uemara, A. Toshimitsu, M. Okano, *J. Chem. Soc., Perkin Trans. I*, 1076 (1978).
21. С. С. Мочалов, Р. А. Газзаева, А. Н. Федотов, Е. В. Трофимова, И. В. Трушков, Н. С. Зефиров, *ЖОрХ*, **40**, 1148 (2004).
22. R. Chang, K. Kim, *Tetrahedron Lett.*, **40**, 6773 (1999).
23. R. Chang, K. Kim, *Tetrahedron Lett.*, **41**, 8499 (2000).
24. Ю. С. Шабаров, В. К. Потапов, Р. Я. Левина, *ЖОХ*, **34**, 3127 (1964).
25. Р. Я. Левина, Ю. С. Шабаров, В. К. Потапов, *ЖОХ*, **29**, 3233 (1959).
26. С. С. Мочалов, А. Н. Федотов, А. И. Сизов, Ю. С. Шабаров, *ЖОрХ*, **15**, 1425 (1979).
27. Ю. С. Шабаров, С. С. Мочалов, И. П. Степanova, Г. В. Алексахин, *Докл. АН*, **207**, 621 (1972).
28. Ю. С. Шабаров, С. С. Мочалов, *ЖОрХ*, **8**, 293 (1972).
29. А. Н. Федотов, И. Н. Шишкина, Т. Г. Кутателадзе, С. С. Мочалов, Ю. С. Шабаров, *XTC*, 1063 (1987). [*Chem. Heterocycl. Comp.*, **23**, 849 (1987)].
30. Ю. С. Шабаров, С. С. Мочалов, *ЖОрХ*, **8**, 2085 (1972).

*Московский государственный университет
им. М. В. Ломоносова,
Ленинские горы, 1, Москва 119992, Россия
e-mail: ssdoch@org.chem.msu.ru*

*Поступило 8.12.2010
После доработки 7.11.2011*

^a Северо-Осетинский государственный
университет им. К. Л. Хетагурова,
ул. Ватутина, 46, Владикавказ 362040,
Северная Осетия, Россия
e-mail:gazzaev@mail.ru